

УДК 519.6

Применение SVD разложения для решения задачи межскважинной томографии

Е. Ю. Карпенко

Институт проблем моделирования в энергетике им. Г.Е. Пухова НАН Украины,
Киев 03164. E-mail: kozerog@crimea.com

Аннотация. В работе рассмотрен подход к решению задачи межскважинной томографии основанный на использовании SVD разложения.

1. Введение

Изучение верхней части геологического разреза является достаточно сложной задачей. Она имеет сложное геологическое строение, с резкой вертикальной и горизонтальной изменчивостью физико-механических свойств пород и их анизотропией, с невыдержанными геологическими границами, с переменным фазовым составом порозаполнителей и др. Интенсивное застраивание территорий и эксплуатация недр вызывает изменение геодинамического равновесия горных пород (оползни, обвалы и пр.) и, как следствие, ухудшение экологической обстановки.

Методы построения изображений объектов по «проекциям» рентгеновских лучей, ультразвуковых и электромагнитных волн нашли широкое применение в электронной микроскопии, медицинской диагностике, радиоастрономии, сейсмической томографии. Для воспроизведения объекта обычно используются методы свертки или итеративные алгоритмы решения больших систем линейных уравнений [1-3]. Сейсмическая томография базируется на измерении скоростей объемных и поверхностных сейсмических волн, направленных таким образом, чтобы «просветить» интересующее геофизиков непрозрачное тело, например массив горных пород, который исследователь не может непосредственно наблюдать. При этом массив неподвижен, так же как источники и приемники сейсмических волн. Метод межскважинной томографии успешно применяют для разведки месторождений нефти и газа, изучения тонкой геологической структуры между скважинами, рудных залежей и других относительно небольших объектов по сравнению с неоднородностями в мантии Земли. Томографическое изучение детальной структуры между несколькими скважинами в нефтегазоносных районах позволяет воссоздать реальную объемную картину распределения нефтенасыщенных пластов, флюидоупоров, воды и газа. При этом резко возрастает точность попадания скважиной в зону, где скопились нефть или газ.

Для задач большой размерности в памяти персональных компьютеров не удастся разместить простым способом гигантские матрицы, возникающие при такой параметризации, и само алгебраическое решение должно быть найдено приближенно с применением итеративных процедур. Ошибки в алгебраическом решении возникают из-за недостаточной сходимости и суммируются с ошибками, обусловленными накоплением в системе ошибок, содержащихся в данных.

2. Математическая модель

Математической основой томографии является закон, сформулированный Радоном в 1917 году, который гласит, что любая непрерывная двумерная функция может быть восстановлена по ее одномерным проекциям, если число этих проекций бесконечно [4]. Проекции представляют собой некоторые функционалы физических характеристик среды исследований. В сейсмической томографии характеристиками обычно являются скорости сейсмических волн, а проекции — времена пробега, получаемые из наблюдений.

Общий подход к построению решения — это представление искомой функции в виде разложения по некоторой системе базисных функций b_i . Примером могут служить результаты разбиения исследуемой области на клетки, когда i -я базисная функция b_i равна J только в i -й клетке и 0 — во всех остальных случаях.

Одна из задач общей томографии состоит в следующем. Имеется n источников сигнала и m приемников, расположенных в некоторой плоскости. Расположение источников и приемников сигнала может быть как равномерным, так и нет (рис. 1).

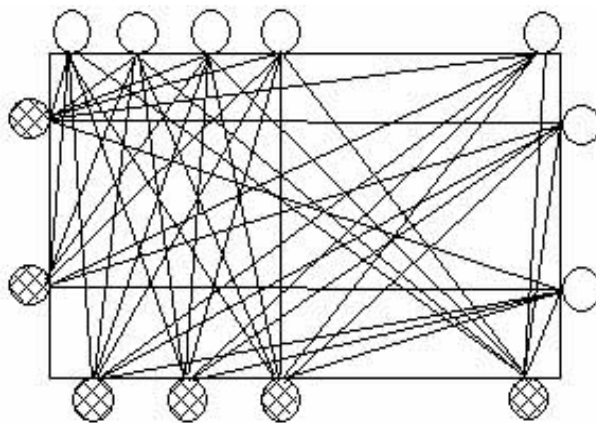


Рис. 1. Расположение системы источники–приемники.

Очевидно, что сигнал, попадая в интересующий нас объект, будет менять свою скорость, в зависимости от природы данной среды. Замеряется τ_k^l — время прохождения сигнала от k -го источника к l -му приемнику ($k = \overline{1, n}$; $l = \overline{1, m}$).

Введем в исследуемой плоскости прямоугольную декартовую систему координат и разобьем ее сеткой по осям OX и OY на N и M частей соответственно. Таким

образом, исследуемая плоскость будет разбита на NM прямоугольных участков. Для каждого из данных участков вводится неизвестная V_{ij} — скорость сигнала на участке (i, j) и определяются числа S_{ij}^{kl} — расстояние, которое проходит сигнал на участке (i, j) , идущий от источника k к приемнику l .

Необходимо также установить «путь» каждого из сигналов, т.е. те участки, через которые он будет проходить при данном разбиении. Пусть Tr_k^l — двумерный массив, содержащий координаты участков, через которые проходит сигнал $k \rightarrow l$.

Обозначим через $t_{ij}^{kl} = \frac{S_{ij}^{kl}}{V_{ij}}$ время прохождения сигнала от k -го источника к l -му приемнику на участке (i, j) . Теперь зная величины τ_k^l и участки, через которые проходит каждый сигнал, можно составить систему линейных алгебраических уравнений.

Количество неизвестных системы будет зависеть от разбиения плоскости, т.е. будет равно NM . Каждый из выпущенных сигналов будет порождать уравнение системы:

$$\sum_{(i,j) \in Tr_k^l} t_{ij}^{kl} = \tau_k^l \quad (k = \overline{1, n}; l = \overline{1, m}). \quad (2.1)$$

Таким образом, полученная система будет содержать nm уравнений. Последующая задача заключается в выборе приемлемого метода для решения полученной системы. В данной статье рассматривается метод SVD (сингулярного) разложения.

3. Сингулярное разложение

Для любой $m \times n$ -матрицы A существует ортогональная $m \times m$ -матрица U , ортогональная $n \times n$ -матрица V и $m \times n$ -диагональная матрица Σ с диагональными элементами $\sigma_1 \geq \sigma_2 \geq \dots \geq \sigma_n \geq 0$, такие что

$$A = U\Sigma V^T. \quad (3.1)$$

Это матричное произведение называется сингулярным разложением матрицы A . Столбцы U (или V соответственно) называются левыми (правыми) сингулярными векторами A , а σ_j — сингулярными числами A . Столбцы U (или V соответственно) являются собственными векторами матрицы AA^T (или $A^T A$) и σ_j^2 — собственные числа обеих матриц.

Сингулярное разложение — очень важный метод, используемый во многих видах матричных задач как теоретических, так и практических. Мы получаем большую информацию о структуре матрицы. Если SVD матрицы A задано формулой (3.1), то определяя r соотношениями

$$\sigma_1 \geq \sigma_2 \geq \dots \geq \sigma_r > \sigma_{r+1} = \dots = \sigma_p = 0, \quad (3.2)$$

мы имеем

$$\text{rank}(A) = r, \quad (3.3)$$

$$\text{null}(A) = \text{span}(V_{r+1}, \dots, V_n), \quad (3.4)$$

$$\text{range}(A) = \text{span}(U_1, \dots, U_r), \quad (3.5)$$

где $\text{rank}(A)$, $\text{null}(A)$, $\text{range}(A)$ – ранг, ядро (нуль пространство) и область значений матрицы A соответственно. Более того, обозначив $U_r = U(:, 1:r)$, $\Sigma_r = \Sigma(1:r, 1:r)$, $V_r = V(1:r, :)$, мы получим следующее разложение:

$$A = U_r \Sigma_r V_r^T. \quad (3.6)$$

Если $\sigma_{r+1}, \dots, \sigma_n$ очень малы по сравнению с $\sigma_1, \dots, \sigma_r$, то для вычислительных целей A практически является матрицей ранга r и говорят, что A имеет эффективный ранг r .

Пусть теперь необходимо решить систему

$$Ax = B. \quad (3.7)$$

Если мы положим $B = Ug$ (т.е. представим b в виде линейной комбинации столбцов U ; очевидно, $g = U^T B$), то $x = Vz$, где $z_i = \frac{g_i}{\sigma_i}$ ($i \leq r$). Однако мы не получаем соотношений для z_{r+1}, \dots, z_n . И действительно эти величины представляют собой компоненты x в нулевом пространстве A и поэтому не вносят вклад в B , следовательно, они не могут быть восстановлены из B . Следовательно можно пренебрегать (возможными) компонентами x в $\text{null}(A)$ и искать решение системы (3.7) в виде:

$$x = V_r \Sigma_r^T U_r^T B. \quad (3.8)$$

4. Программная реализация

Для численной реализации поставленной задачи в среде Matlab были разработаны программы **Tomo** и **singular**.

В настоящее время Matlab является мощным и универсальным средством решения задач, возникающих в различных областях человеческой деятельности. Спектр проблем, исследование которых может быть осуществлено при помощи, охватывает: матричный анализ, обработку сигналов и изображений, задачи математической физики, оптимизационные задачи, обработку и визуализацию данных, работу с картографическими изображениями, нейронные сети, нечеткую логику и многое другое. Специализированные средства собраны в пакеты, называемые Toolbox, и могут быть выборочно установлены вместе с Matlab по желанию пользователя. В состав многих Toolbox входят приложения с графическим интерфейсом пользователя, которые обеспечивают быстрый и наглядный доступ к основным функциям. Огромным преимуществом Matlab является открытость кода, что дает

возможность опытным пользователям разбираться в запрограммированных алгоритмах и, при необходимости, изменять их. В Matlab реализованы классические численные алгоритмы решения уравнений, задач линейной алгебры, нахождения значений определенных интегралов, интерполяции, решения дифференциальных уравнений и систем. Простой встроенный язык программирования позволяет легко создавать собственные алгоритмы.

Программа **Tomo** позволяет составить левую и правую часть системы (3.7), причем есть возможность быстро менять, как сетку разбиения исследуемой плоскости, так и расположение источников и приемников сигнала, а также их число. Программа **singular** используется для решения полученной системы методом SVD разложения, графического вывода решения и указания ошибки при решении тестовой задачи. Визуальная среда GUIDE предназначена для написания приложений с графическим интерфейсом пользователя.

Алгоритм работы программ можно представить в следующем виде:

1. В программе **Tomo** задается длина и высота исследуемой плоскости, сетка разбиения, расположение и число источников и приемников сигнала.
2. Осуществляется вычисление «путей» каждого из сигналов и расстояний по участкам следования сигнала.
3. С помощью данных, полученных в пункте 2, формируется левая часть системы.
4. С помощью экспериментально полученных данных, или же при рассмотрении задачи, конечный результат которой заранее известен, формируем правую часть системы.
5. Полученная система передается в программу **singular** и находится ее решение используя метод сингулярного разложения.
6. Находим среднеарифметическую, среднеквадратическую и максимальную погрешность задачи.

5. Решение тестовой задачи

Пусть дана прямоугольная область размером 1000×500 м, равномерно разбитая на 16 участков по оси OX и на 8 участков по оси OY . Скорость прохождения сигнала в области составляет 3000 м/с. Имеются два «специфических» участка со скоростями 3100 м/с и 3300 м/с соответственно. Исходные данные и полученный результат можно наблюдать на рис. 2 и рис. 3 соответственно.

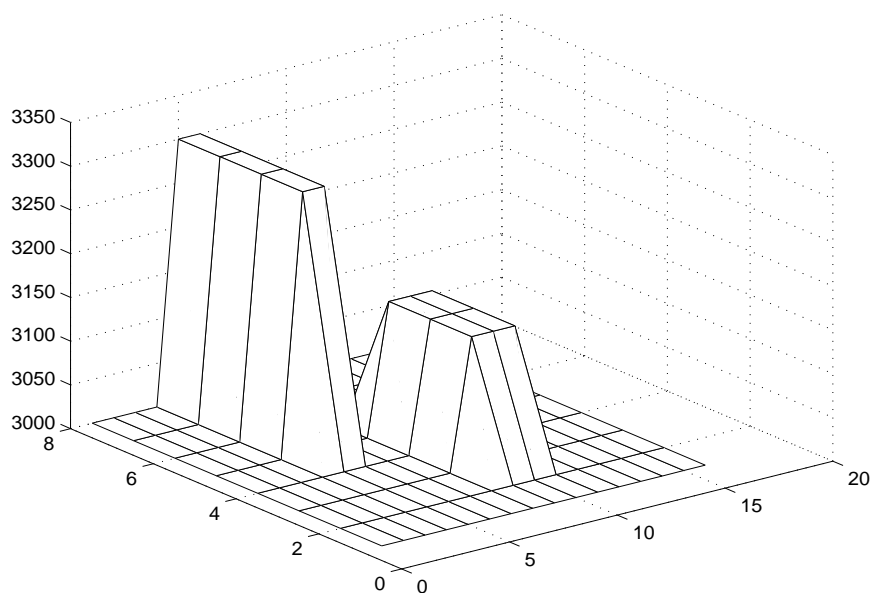


Рис. 2. Исходные данные тестовой задачи.

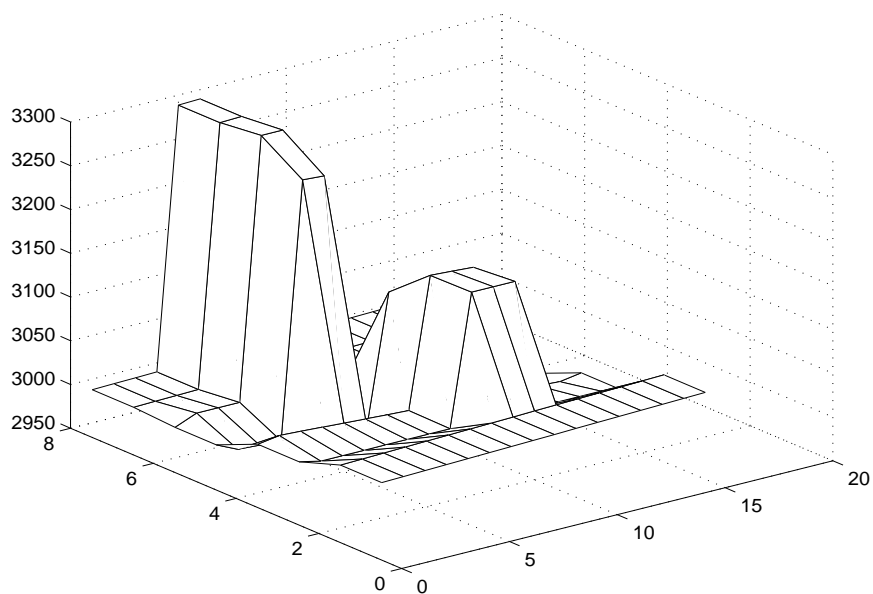


Рис. 3. Результат, полученный в ходе выполнения программы.

Среднеарифметическая ошибка составила 7.142 при 16 источниках и 16 приемниках сигнала. Установлено, что увеличение числа источников и приемников сигнала в существенной мере не влияет на полученный результат.

В перспективе будет интересно выяснить, как изменится точность решения задачи, при установке источников и приемников сигнала слева и справа от исследуемой области (а может и внутри ее), а также при использовании других методов решения систем алгебраических уравнений.

Список цитируемых источников

1. *Левин Г.Г., Вишняков Г.Н.* Оптическая томография. — Москва: Радио и связь, 1989. — 224 с.
2. *Наттерер Ф.* Математические аспекты компьютерной томографии. — Москва: Мир, 1990. — 288 с.
3. *Нолет Г.* Сейсмическая томография. — Москва: Мир, 1990. — 416 с.
4. *Хермен Г.* Восстановление изображений по проекциям: Основы реконструктивной томографии. — Москва: Мир, 1983. — 352 с.

Получено 15.11.2006